

LFE Medieninformatik • Prof. Dr. Ing. Axel Hoppe

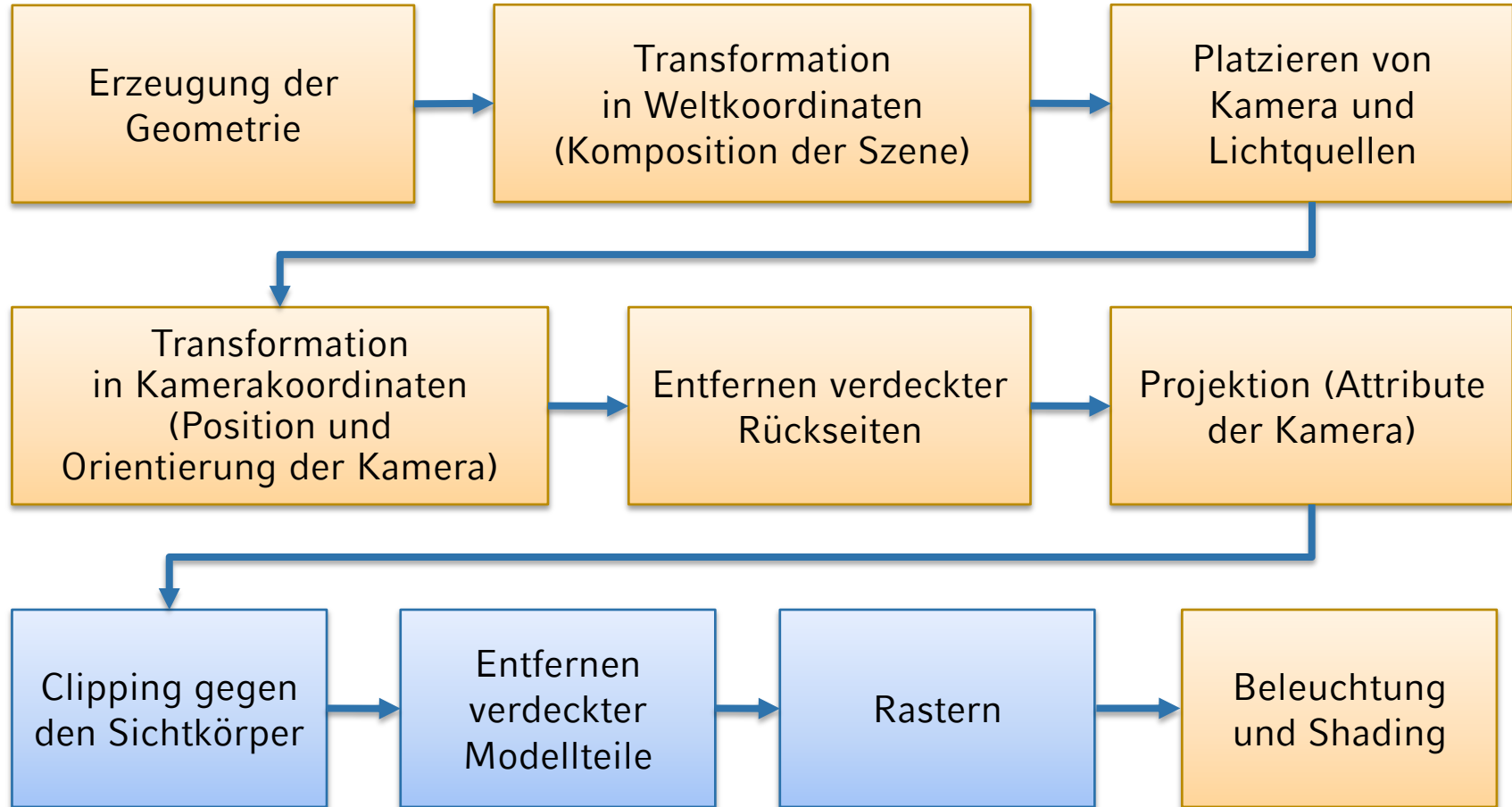
COMPUTERGRAFIK I

Sichtbarkeitsbestimmung

- Shading
- Lokales Beleuchtungsmodell
- Globale Beleuchtungsmodelle

- Nachsatz: Prozedurale Modellierung
- Animationstechniken
- Sichtbarkeitsbestimmung
- Rastern (und Shading)

RENDERING-PIPELINE





LUDWIG-
MAXIMILIANS-
UNIVERSITÄT
MÜNCHEN

LFE Medieninformatik • Prof. Dr. Ing. Axel Hoppe

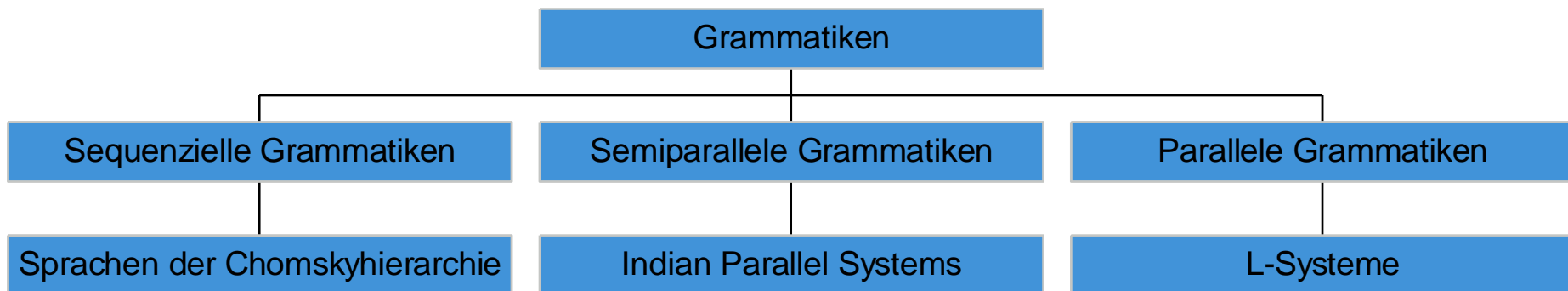
von 3D nach 2D

PROZEDURALE MODELLIERUNG



- Entwickelt von Aristid Lindenmayer
- Ende der 60iger Jahre
- Entwickelt als Automat und später als Teil der Formalen Sprachen definiert
- Mathematisches Modell zur Beschreibung von biologischen Prozessen
 - Zelltrennung
 - Pflanzenwachstum

- Bereich der Theoretische Informatik
- Formale Sprachen
- Parallele Ersetzungsgrammatik



- Mittels eines L-Systems wird ein Wort generiert
- Wortgenerierung erfolgt über Regeln
- Beispiel
 - Startwort: F
 - Regel: $F \rightarrow FF$
 - Wortgenerierung
 - ◆ 1. Ableitung: F
 - ◆ 2. Ableitung: FF
 - ◆ 3. Ableitung: FFFF
 - ◆ 4. Ableitung: FFFFFFFF
 - ◆ 5. Ableitung: FFFFFFFFFFFFFFFF

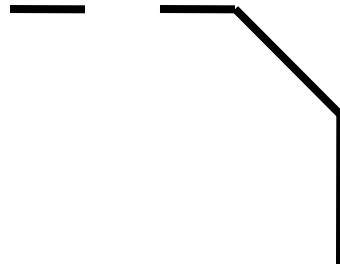
- Bestimmte Zeichen können als Kommandos interpretiert werden
- Beispiele
 - F0
 - ◆ Gehe eine bestimmte Wegstrecke und hinterlasse eine Linie (im 2D-Raum)
 - M0
 - ◆ Gehe eine bestimmte Wegstrecke und hinterlasse keine Linie (im 2D-Raum)
 - L(x)
 - ◆ Ändere die Länge der Wegstrecke
 - LMul(x)
 - ◆ Multipliziere die aktuelle Länge der Wegstrecke mit x
 - RU(x)
 - ◆ Rotiere um x-Grad auf der y-Achse



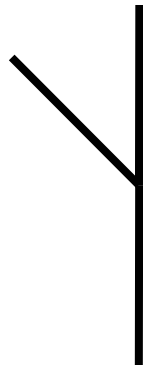
- Was ist das graphische Ergebnis aus dem folgenden Wort?
- $L(10) \quad F0 \quad RU(45) \quad F0 \quad RU(45) \quad LMu1(0.5) \quad F0 \quad M0 \quad F0 \quad ?$



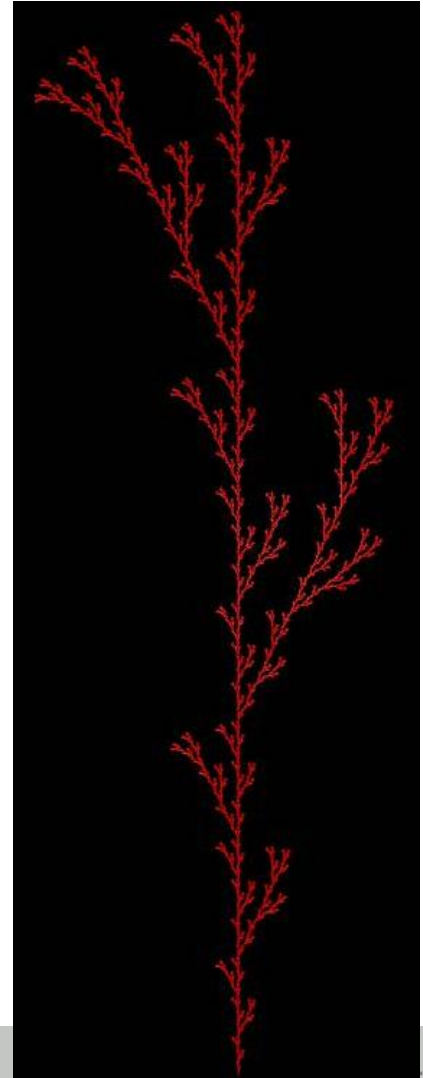
- L(10) F0 RU(45) F0 RU(45) LMu1(0.5) F0 M0 F0



- Realisierung von Verzweigungen mittels []
- Beispiel: $F [RU(45) F] F$

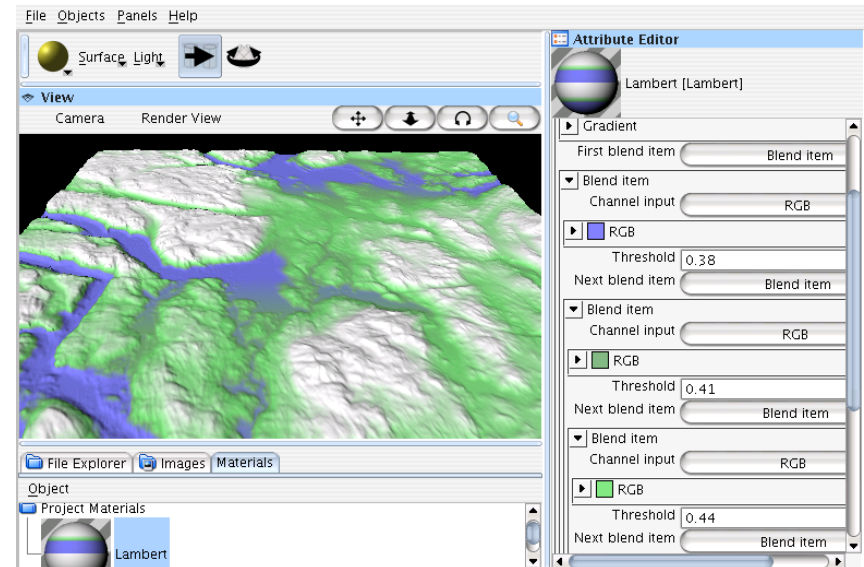


- Ableitungsschritte = 5
- Basisstärke = 60
- Startaxiom = F
- Regel: $F \rightarrow F[RU(25.7)F]F[RU(-25.7)F]F$





- Freie Entwicklungsplattform (Open Source) für 3D Modellierung



WIE KANN GROIMP EINGESETZT WERDEN?

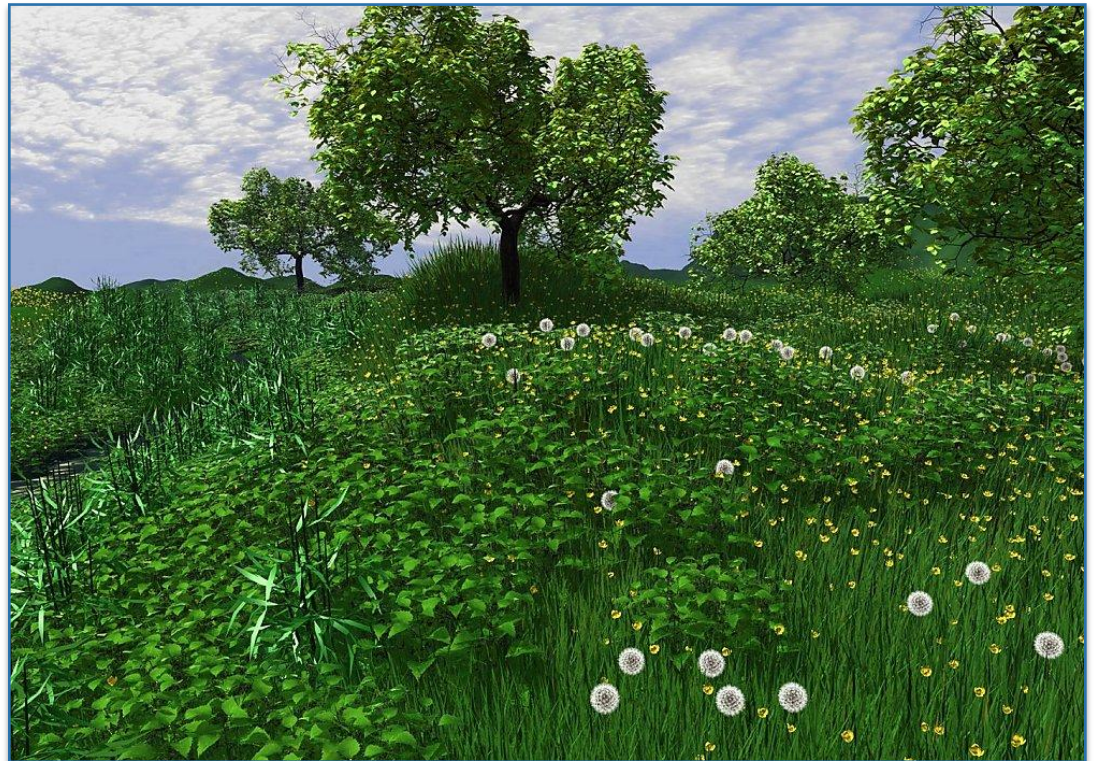
- Büsche, Bäume, Blumen, ..., jegliche Art von Pflanzenstrukturen
- Steine, Felsen und Gebirge
- Verschiedene Arten von Landschaften
 - Mondlandschaft, Vulkanlandschaft, etc.



- Biologische Korrektheit
 - Integration des Öko-Systems
 - Wettkampf um Ressourcen
 - Realistischere Modelle
- Genaues Modellieren
 - Genaue Dimensionierung von 3D-Teilen
 - Die 3D-Primitiven sind alle miteinander verbunden
 - Keine fehlenden 3D-Teile



Oliver Deußen et al.,
Universität Magdeburg,
1997





LUDWIG-
MAXIMILIANS-
UNIVERSITÄT
MÜNCHEN

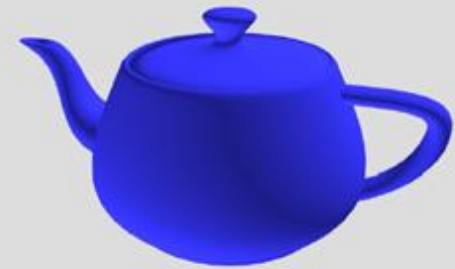
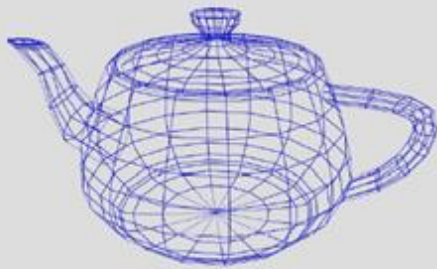
LFE Medieninformatik • Prof. Dr. Ing. Axel Hoppe

von 3D nach 2D

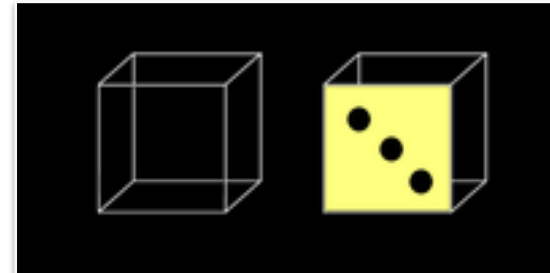
MATERIALIEN



WEITERE TECHNIKEN

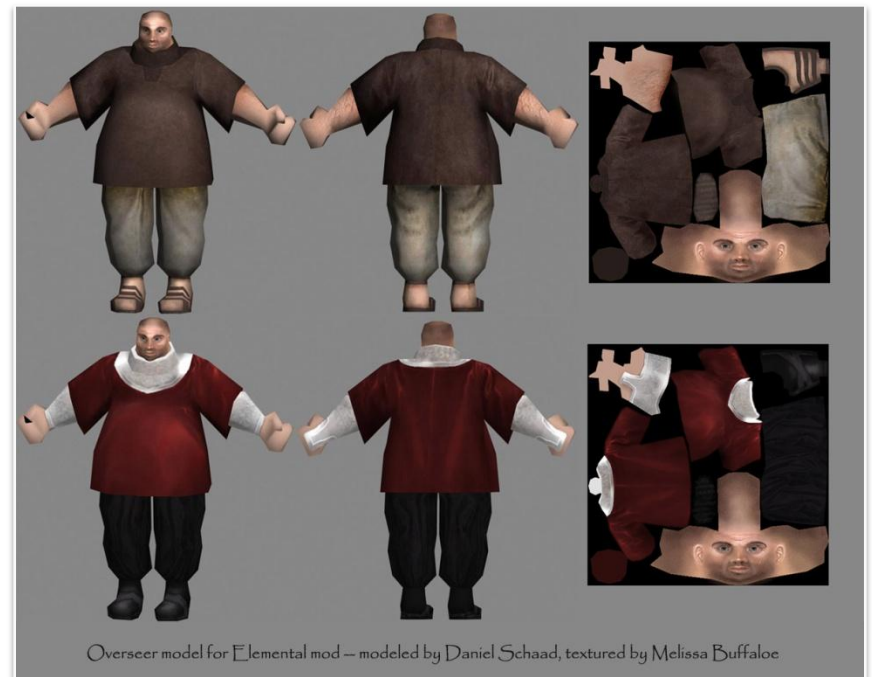


- Auftragen einer 2D Map auf 3D Polygon(e) (Drahtgitter)
- Map/Textur: Bild/Muster oder Oberflächeneigenschaften
- erhöht Realismus ohne Anzahl der Polygone (Rechenaufwand) zu erhöhen
- Jeder 3D Vertex(x,y,z) bekommt Texel zugeordnet
- Texel:
 - u-,v-Koordinaten
 - Position auf der Textur (0,0 links unten, 1,1 rechts oben)
- Interpolation von Eckpunkt zu Eckpunkt eines Polygons

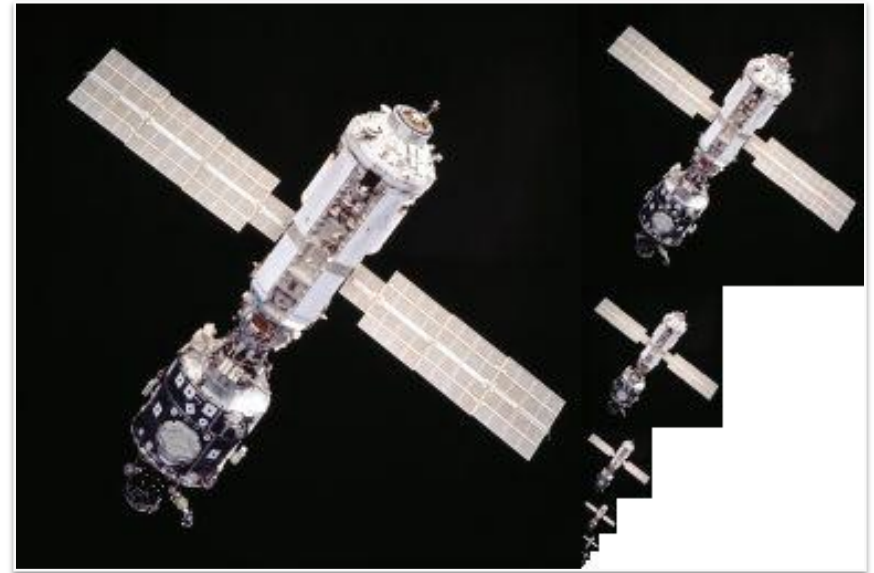


TEXTURE MAPPING (DIFFUSE COLOR MAP)

- Textur: Bild oder Muster
- Problem: Ansicht auf weit entferntes oder nahe Objekte
 - Pixel können wesentlich größer/kleiner als Texel sein
 - Mittelwertberechnung meist zu aufwendig
 - Lösung: Mip Mapping



- Ursprüngliche Textur wird abgespeichert und verkleinert
 - Verhältnis 4:1 (halbe Höhe, halbe Breite)
 - mit entstandenen Texturen rekursiv fortgeführt bis Auflösung 1:1
 - häufig von Grafikhardware beim Texturladen angewandt
- Textur mit passender Größe wird verwendet
- 1/3 höherer Speicherbedarf



Spiegeleffekte der
Umgebung simuliert,
ohne eine exakte
Lichtverteilungsberec
hnung

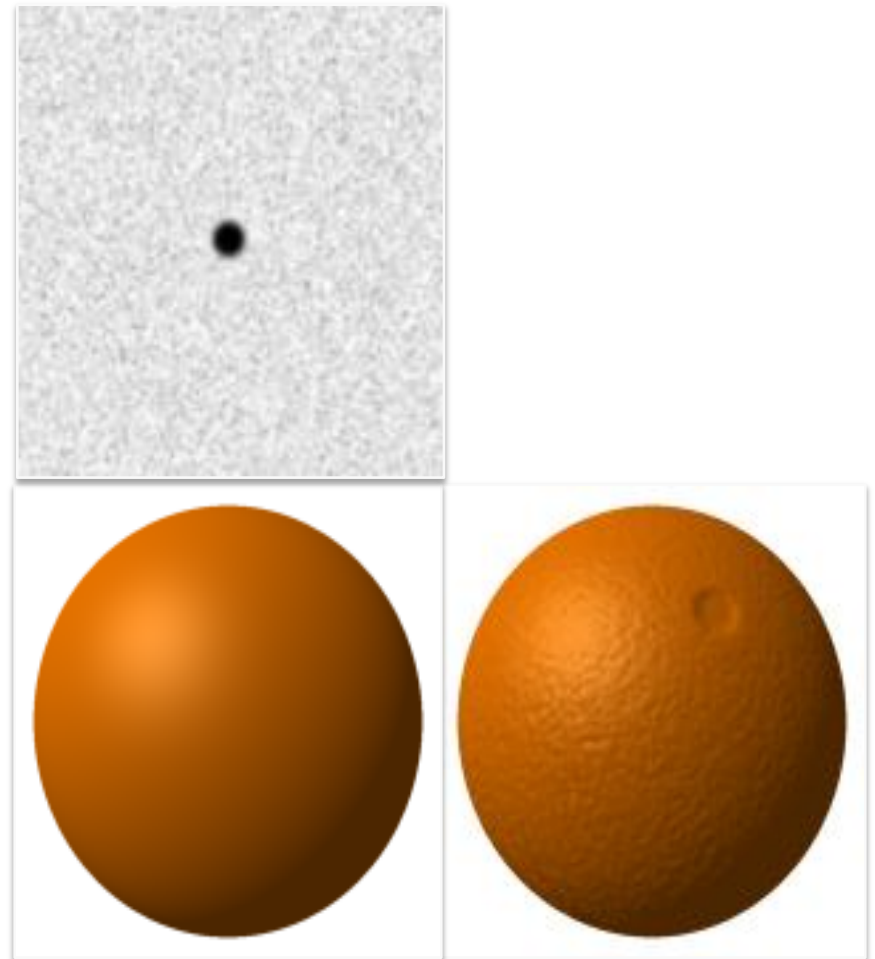
durchzuführen

Cubic EM: 6 Maps
(vorn, hinten,
oben,...)

Spherical EM: eine
Map für alle Seiten

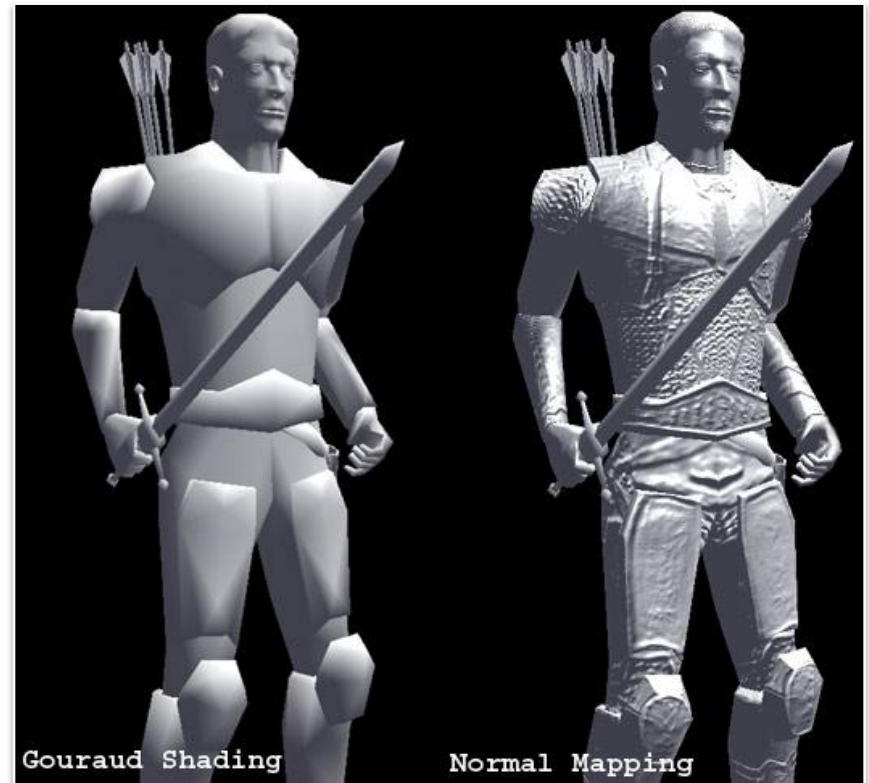


- Höhenunterschiede simuliert, die in der Geometrie des Modells gar nicht vorhanden sind
- Bump-Map:
 - besteht aus Grauwerten
 - Schwarz (Farbwert 0) die „tiefste“ Stelle
 - Weiß (Farbwert: 255) die „höchste“ Stelle



NORMAL MAPPING

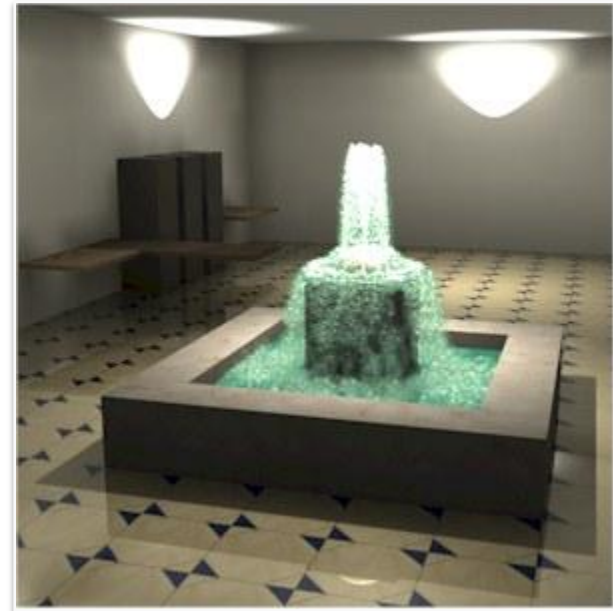
- Oberflächenunebenheiten simuliert, die in der Geometrie des Modells gar nicht vorhanden sind
- Normal-Map:
 - RGB-Werte als XYZ Werte interpretiert
 - normalisierter Vektor ist Normale für Helligkeitsberechnung
 - von Hi-Res-Modell errechnet und für Low-Res-Modell verwendet



- Höhenwerte aus Bump-Map werden zum erzeugen neuer und verschieben vorhandener Vertices benutzt
- Vorteil: Geometrie wird verändert
- Nachteil: deutlich mehr Rechenaufwand



- einfache Weise eine große Anzahl von Objekten zu animieren
 - Effekte (Feuer, Wolken, Rauch, Wasser)
 - Bewegung vieler Objekte (Schwärme, Asteroidenfelder)



- Rendering besteht aus Viewring und Shading
- Wichtige Bestandteile:
 - Transformationen bzw. Kameramodell
 - Entfernen verdeckter Modellteile
 - Beleuchtungsmodell
 - Shading (Anwenden des Beleuchtungsmodells)
- Unterschiedliche Verfahren in jedem Schritt möglich, daher große Breite von Effekten
- Effiziente Algorithmen und Datenstrukturen (effizienter Zugriff) für die jeweiligen Schritte nötig.



- keine unendlich scharfen Kanten
- diffuse Reflexionen
- Schattenwurf
- Varianz
 - in Gestalt und
 - Oberfläche
- Ambient Occlusion (Dirt Maps)

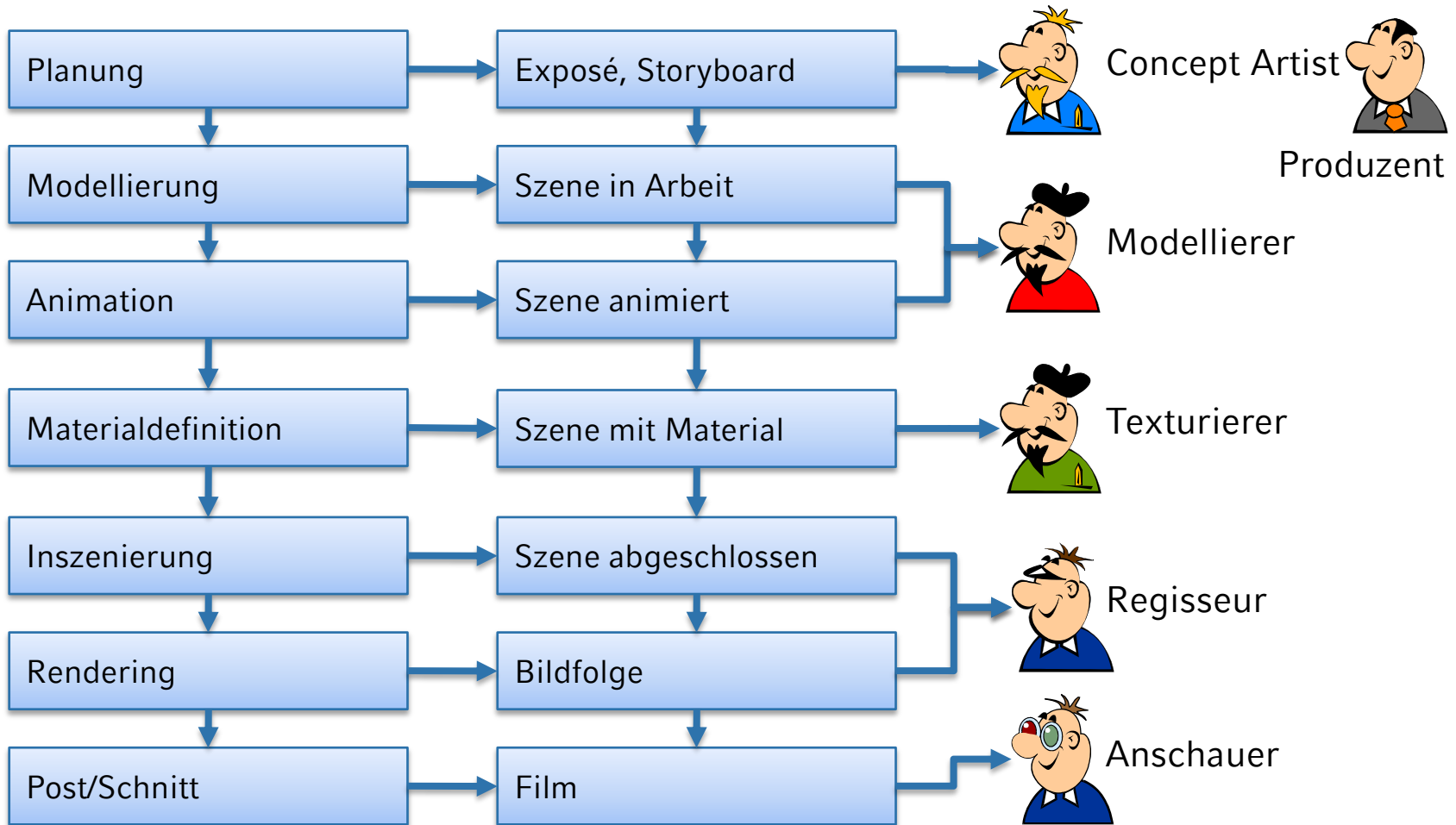


LFE Medieninformatik • Prof. Dr. Ing. Axel Hoppe

Von der Vision zum Bild

BILDPRODUKTIONS-PROZESS

BILDPRODUKTIONSPROZESS



- Konstruktion
 - Konstruieren mit 3D-Primitiven
 - Konstruktion mit Freiformflächen
 - Extrusions- und Rotationskörper
 - Zusammensetzen aus 2D-Formen
 - zusammengesetzte 3D-Körper
- Modellieren auf polygonaler Ebene



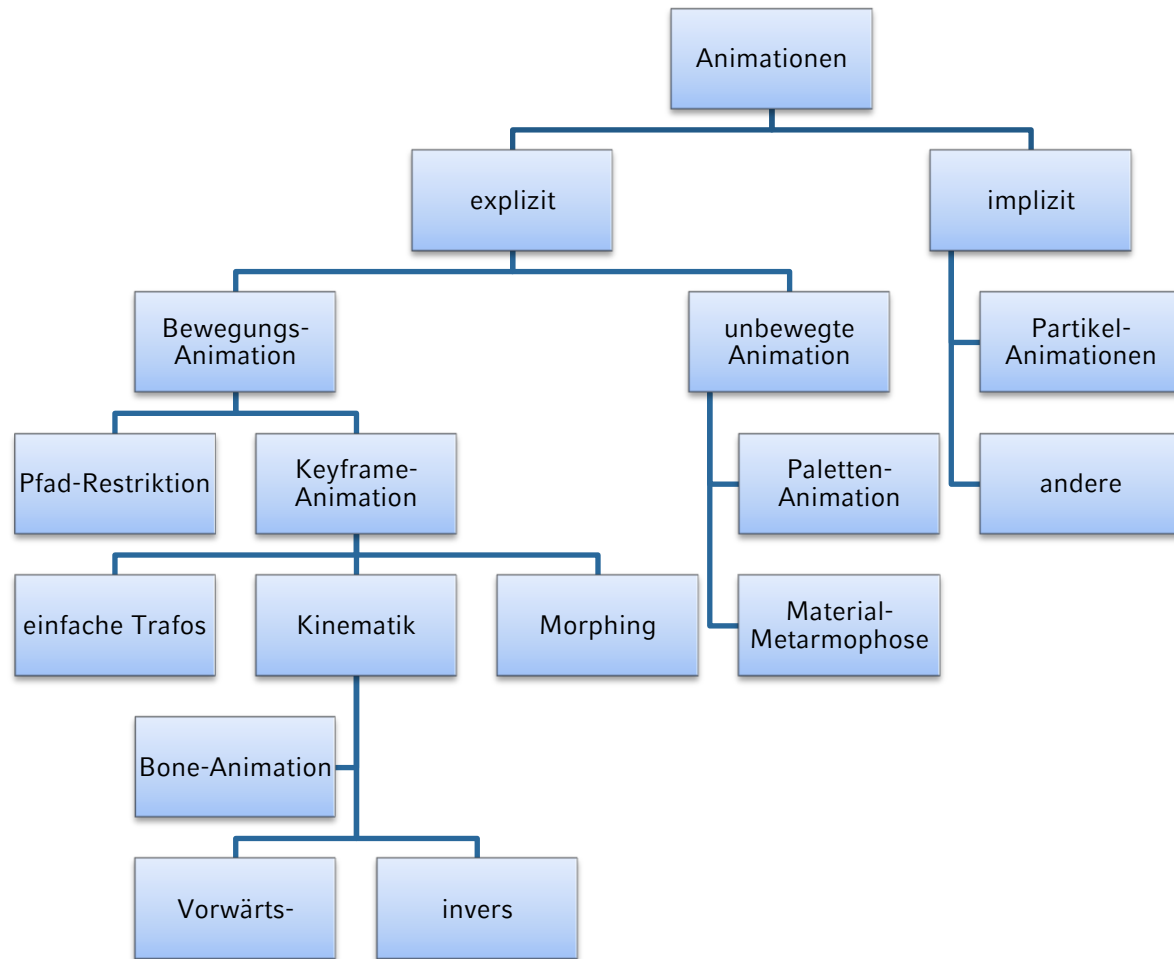
LFE Medieninformatik • Prof. Dr. Ing. Axel Hoppe

„Belebtes“ 3D

ANIMATIONS-TECHNIKEN

- Unterscheidung nach den Dimensionen:
 - 2D-Animation (Objekte und Kulisse)
 - 2½-Animationen (Eindruck von Räumlichkeit dank mehrerer Ebenen für u. a. Parallaxe-Scrolling)
 - 3D-Animationen





LFE Medieninformatik • Prof. Dr. Ing. Axel Hoppe

von 3D nach 2D

SICHTBARKEITS-BESTIMMUNG

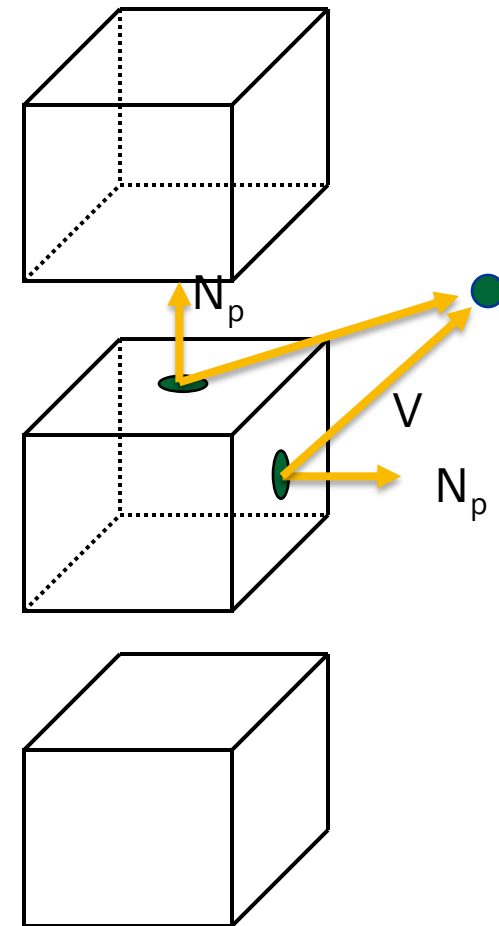


SICHTBARKEITSBESTIMMUNG: ENTFERNEN VERDECKTER RÜCKSEITEN

- Polygone entfernen, die vom Betrachter wegzeigen (Rückseiten), da sie mit Sicherheit nicht sichtbar sind (engl.: *back face culling*)
- Generelles CG-Prinzip: Versuche mit einem schnellen (einfachen) Test eine aufwändigere Berechnung in vielen Fällen einzusparen.

SICHTBARKEITSBESTIMMUNG: ENTFERNEN VERDECKTER RÜCKSEITEN

- Einfacher Test auf Sichtbarkeit eines Polygons mit Hilfe von:
 - Polygonnormale N_p (nach außen zeigend)
 - Vektor $v(\text{iew})$ vom Polygon zum Betrachter-Standpunkt
- Ist der Winkel $> 90^\circ$, dann zeigt die Normale (und damit die Außenseite des Polygons) vom Betrachter weg und das Polygon ist nicht sichtbar.

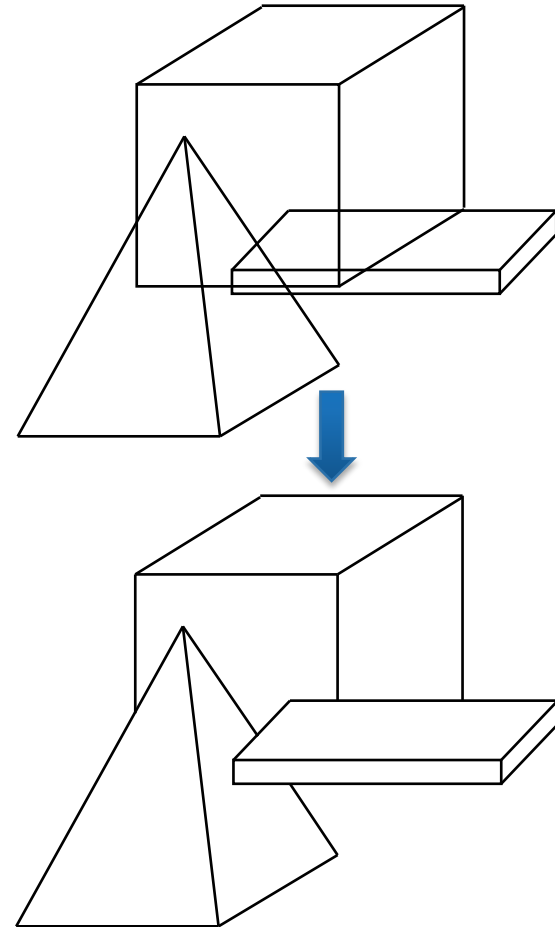


SICHTBARKEITSBESTIMMUNG: ENTFERNEN VERDECKTER RÜCKSEITEN

- Backface Culling (Eliminieren von Polygonen mit einer vom Betrachter abgewandten Normale)
- Erster Schritt beim Entfernen verdeckter Polygone
- Vorgehen:
 - Bilde Skalarprodukt aus $N_p \cdot V$
 - Polygon ist prinzipiell sichtbar, wenn $N_p \cdot V > 0$ (und damit \cos zwischen beiden Vektoren $< 90^\circ$. Vorzeichentest ist schneller als Winkelberechnung)
 - wichtig: Vektoren vorher normalisieren
- Einfacher Test, weil Betrachterstandpunkt im Ursprung des Kamerakoordinatensystems
- Back face culling entfernt $\sim 50\%$ aller Polygone.

SICHTBARKEITSBESTIMMUNG: ENTFERNEN VERDECKTER RÜCKSEITEN

- Bestimmen der Teile des Modells, die nicht von anderen Teilen des Modells verdeckt werden (oder der Teile, die verdeckt werden)
- Hidden Line bzw. Hidden Surface Removal



SICHTBARKEITSBESTIMMUNG: ENTFERNEN VERDECKTER KANTEN/FLÄCHEN

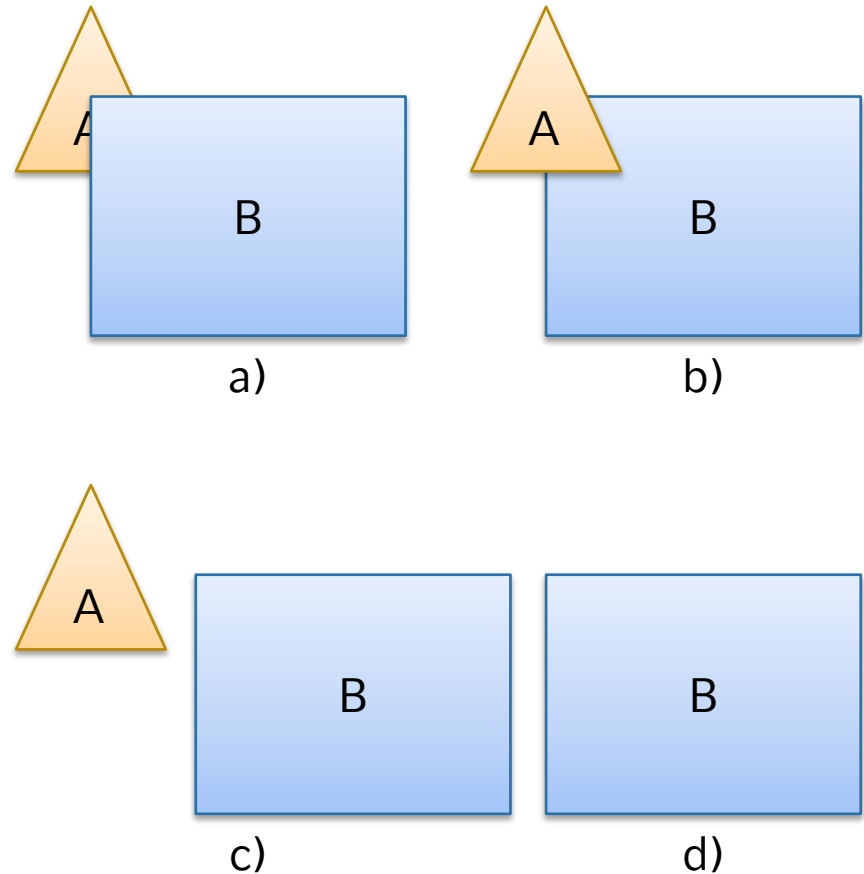
- Viele Verfahren zur Lösung der Aufgabe:
 - Unterschiedliche Herangehensweise
 - ◆ mit Objektgenauigkeit (d. h. analytische Verfahren in 3D)
 - ◆ mit Pixelgenauigkeit (d. h. Verfahren in „2D“)
 - Unterschiedliche Komplexität
 - Unterschiedliche Algorithmenklassen
 - Keine detaillierte Behandlung hier, nur depth-sort und z-Buffer-Algorithmus (später)

SICHTBARKEITSBESTIMMUNG: ENTFERNEN VERDECKTER KANTEN/FLÄCHEN

- Aus dem Kamara-Koordinatensystem werden die Koordinaten in der (2D-)Bildebene berechnet
- Projektionstransformation
- Änderung zu den bisher behandelten Transformationen: z-Werte bleiben erhalten, so dass jeder Objektpunkt einen Tiefenwert besitzt.
- Tiefenwerte werden für das Entfernen verdeckter Teile des Modelles beim z-Buffer-Algorithmus benötigt.

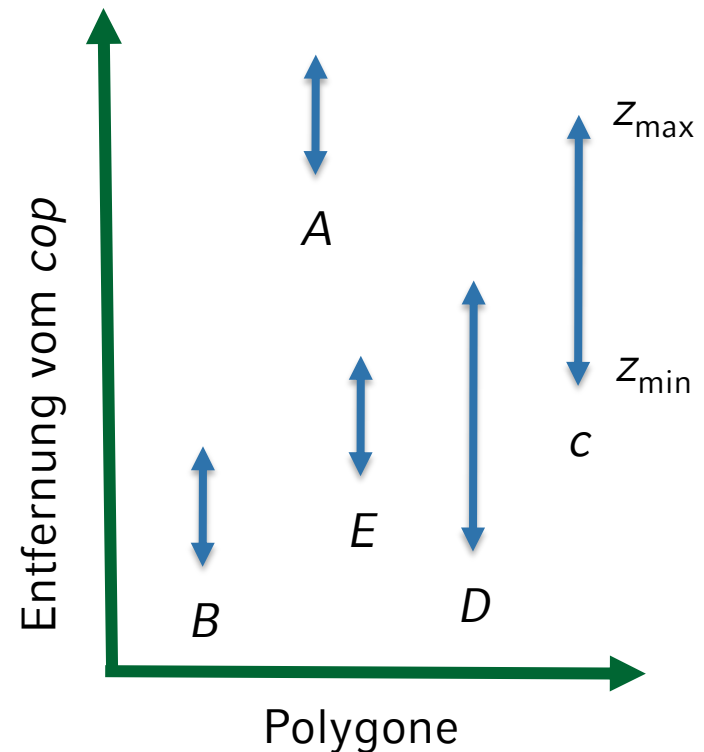
SICHTBARKEITSBESTIMMUNG: ENTFERNEN VERDECKTER KANTEN/FLÄCHEN

- Mögliche Konstellationen
 - a) B vor A und Projektion B und A überlappt (B verdeckt A teilweise)
 - b) A vor B und Projektion A und B überlappt (A verdeckt B teilweise)
 - c) Projektion von A und B überlappt nicht (beide komplett sichtbar)
 - d) Ein Polygon vor dem anderen und Projektion des vorderen umschließt Projektion des hinteren (hinteres Polygon komplett verdeckt)
 - e) Projektion des vorderen Polygones komplett in der Projektion des hinteren enthalten (vorderes Polygon wird „über“ das hintere gezeichnet.)



SICHTBARKEITSBESTIMMUNG: ENTFERNEN VERDECKTER KANTEN/FLÄCHEN

- Depth-Sort (Objektbasierter Algorithmus)
- Sortieren der Polygone nach ihrer Entfernung zum *cop*
- Zeichnen von hinten nach vorn
- **Problem:** Bei Polygonen, bei denen sich die Abstände zum *cop* und die Projektion überlappen, ist die Zeichenreihenfolge unklar.



SICHTBARKEITSBESTIMMUNG: ENTFERNEN VERDECKTER KANTEN/FLÄCHEN

- Lösung:
 - Teile solche Polygone solange bis Polygonteile entstehen, die sich eindeutig sortieren lassen.
 - Dreiecke: Schwerpunkt bilden; 3 kleinere Dreiecke konstruieren

SICHTBARKEITSBESTIMMUNG: Z-BUFFER-ALGORITHMUS

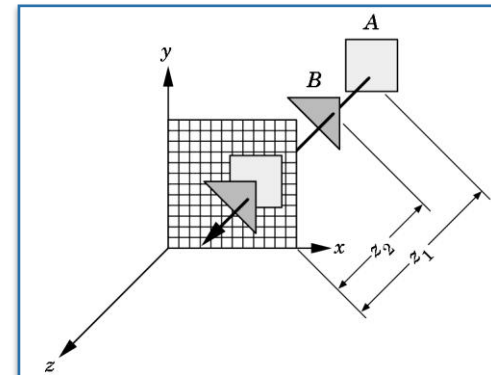
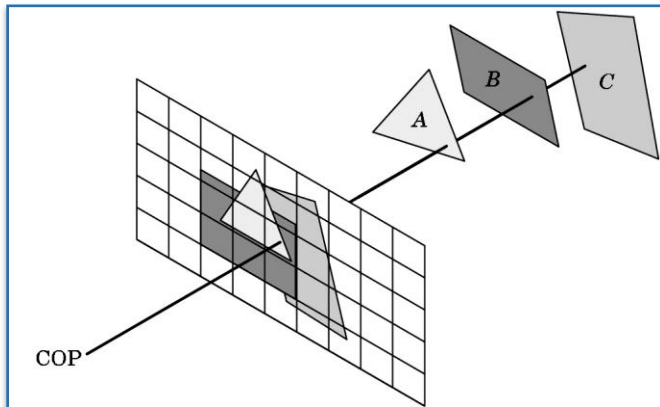
- Effizienter Algorithmus zum Erkennen der sichtbaren Teile einer Szene, der in Bildschirmkoordinaten arbeitet (besser: im Bildraum)
- Ist in Hardware implementiert (NVidia, ATI, etc.).
- Voraussetzung: Alle Polygone liegen transformiert vor, wobei die Bildschirmkoordinaten eine transformierte z-Koordinate besitzen, die die Tiefe angibt.
- Technische Voraussetzung: zwei „Bitmaps“
 - Framebuffer enthält das eigentliche Bild
 - Z-Buffer enthält Tiefenwerte

SICHTBARKEITSBESTIMMUNG: Z-BUFFER-ALGORITHMUS

1. Fülle den Framebuffer mit der Hintergrundfarbe
2. Fülle den z-Buffer mit der maximal möglichen Tiefe
3. Zeichne alle Polygone nacheinander:
 - ◆ Bestimme für jeden Punkt des Polygons die Position im Bild, die Farbe und den Tiefenwert
 - ◆ Vergleiche den Tiefenwert an der Position mit dem, der dort im z-Buffer gespeichert ist
 - ◆ Wenn der Tiefenwert des Polygonpunktes kleiner ist (weiter vorne), dann zeichne die Farbe in den Framebuffer und setze den Tiefenwert im z-Buffer auf den neuen Tiefenwert, sonst wird nichts verändert

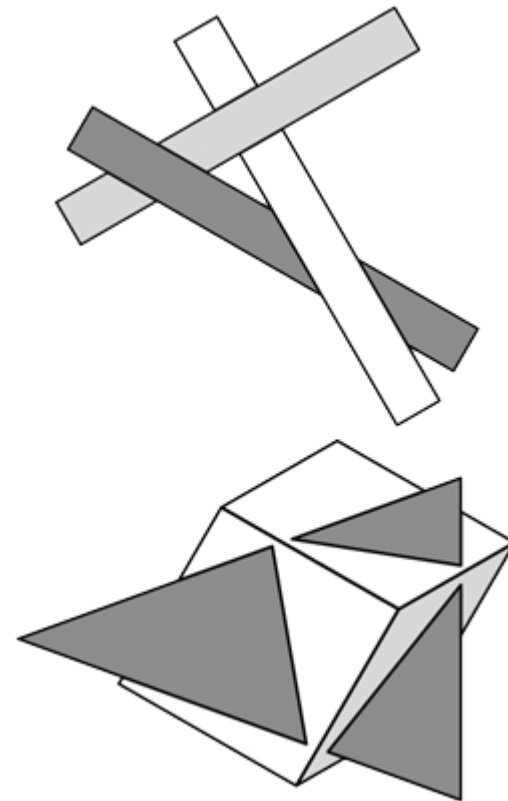
- Was heißt „jeder Punkt des Polygons“?
 - Polygon wird abgetastet;
 - Berechnung wird für diskrete Punkte des Polygons durchgeführt.
 - Abtastrate hängt von der Größe des projizierten Polygons ab.

SICHTBARKEITSBESTIMMUNG: ENTFERNEN VERDECKTER KANTEN/FLÄCHEN



SICHTBARKEITSBESTIMMUNG: ENTFERNEN VERDECKTER KANTEN/FLÄCHEN

- Probleme bei der Sichtbarkeitsbestimmung:
 - Zyklisch überlappende Polygone
 - Ein Polygon „zersticht“ ein anderes (engl. *piercing*).
- Lösung: Teilen in solche Polygone, die sich eindeutig in Tiefenrichtung sortieren lassen (schwierig)



- Entfernen von Rückseiten der Polygone (Normale und Vektor zur Kamera betrachten)
- Entfernen verdeckter Flächen(teile) durch bildbasierte oder objektbasierte Algorithmen
- Beispiele:
 - Objektbasiert: Sortierung der Polygone nach Abstand zur Kamera (Sortierreihenfolge nicht immer eindeutig)
 - Bildbasiert: z-Buffer

- Nach der Projektion sind die Eckpunkte der Polygone in Bildschirmkoordinaten gegeben.
- Noch zu tun:
 - Umsetzung dieser Koordinaten auf Pixelpositionen
 - Bestimmen der entsprechenden Farbe des Pixels
 - „Zeichnen“ der Objekte = Rasterung
- Farbe des Pixels ist abhängig von:
 - Einfallendem Licht in der 3D-Szene
 - Material und Oberflächeneigenschaft der Objekte
 - Betrachterstandpunkt
- Bestimmen der Farbe an einem Punkt im 3D-Modell über Beleuchtungsmodelle, Umsetzen auf Pixelfarbe: Shading



LUDWIG-
MAXIMILIANS-
UNIVERSITÄT
MÜNCHEN

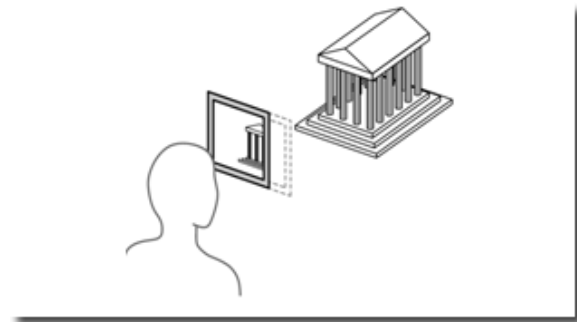
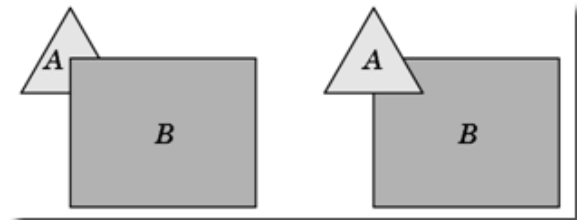
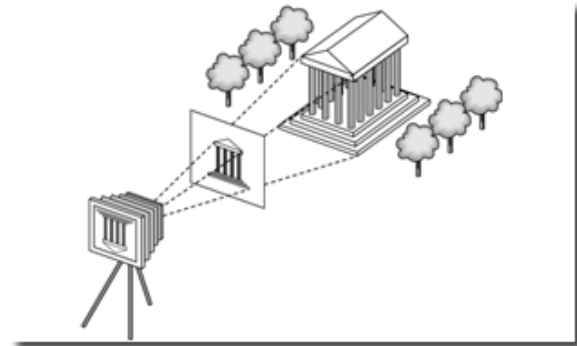
LFE Medieninformatik • Prof. Dr. Ing. Axel Hoppe

von 3D nach 2D

CLIPPING

- Motivation und Anwendung:
 - Clippen: Einleitung „Abschneiden“ einer geometrischen Beschreibung an einem Clipkörper.
- Anwendungen:
 - Fenstersysteme: Abschneiden der dargestellten Geometrie an den Fenstergrenzen (Bestandteil des Graphiksystems von Fenstersystemen)
 - Abschneiden von 3D-Geometrien am Sichtkörper (Pyramidenstumpf bzw. Quader)
 - Abschneiden eines verdeckten Polygons an einem davor liegenden Polygon (HSR)
 - Exploration von 3D-Daten mit Clipsebenen

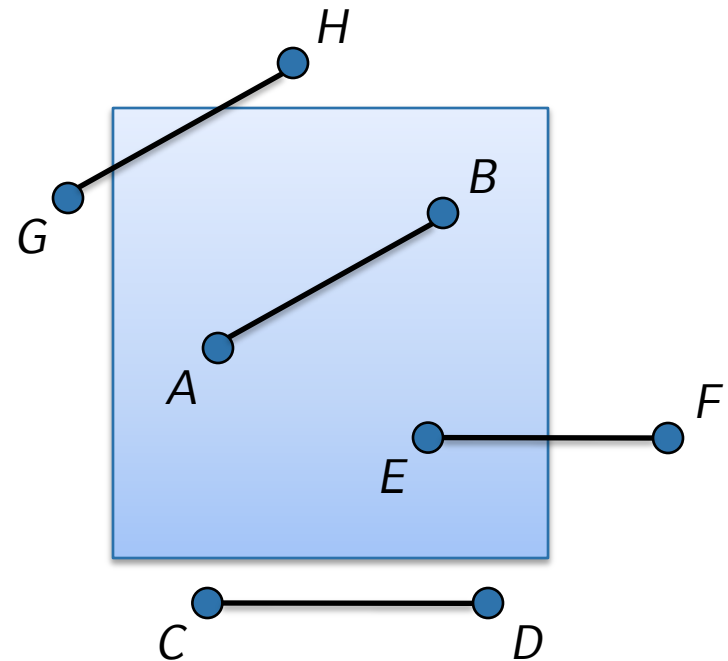
- *Oben*: Clippen am Sichtkörper
- *Mitte*: Clippen bei der Bestimmung verdeckter Kanten
- *Unten*: Clippen am Viewport



- Was heißt Clippen?
 1. Entscheiden, welche Graphikprimitive komplett gezeichnet werden
 2. Entscheiden, welche Teile von Graphikprimitiven gezeichnet werden
- → Schnittpunktberechnungen zwischen Graphikprimitiven und Clipgeometrie
- → Geschlossene Polygone bzw. Polyeder sind nach dem Abschneiden nicht mehr geschlossen. Berechnung von verbindenden Kanten/Flächen
- Beim Rendering muss das Clippen für jedes Polygon in 3d und für die sichtbaren Polygone nach Projektion in 2d durchgeführt werden. → Zahl der Schnittpunktberechnungen minimieren

CLIPPEN VON LINIENSEGMENTEN AN RECHTECKEN

1. Punkte p_1 und p_2 innerhalb (AB)
Linie komplett innerhalb (*accept*)
2. Punkte p_1 und p_2 außerhalb und
jenseits der gleichen Kante (CD)
Linie komplett außerhalb (*reject*)
Bei 1. und 2. nutzt man Konvexität
der Linie und des Clipkörpers
3. Punkte p_1 und p_2 außerhalb aber
in Bezug auf verschiedene Kanten
→ testen, ob es zwei
Schnittpunkte gibt (GH)
4. Punkte p_1 innerhalb p_2 außerhalb
(EF) Berechne Schnittpunkt
zwischen p_1 , p_2 und dem Rechteck
5. Punkte p_1 außerhalb und p_2
innerhalb Vertauschen von p_1 und
 p_2 und dann vorgehen wie Fall 4



- Test, ob Punkt p im achsenparallelen Rechteck

$(x_{\min}, x_{\max}, y_{\min}, y_{\max})$:

```
If (p(x) >= xmin && p(x) <= xmax && p(y) >= ymin &&  
p(y) <= ymax)
```

```
inside = true;
```

- Schnittpunktberechnungen:
 1. Identifizieren der geschnittenen Rechteckkante Tests separat durchführen, ggf. kommen zwei Kanten in Frage (siehe EF)
 2. Schnittpunktberechnung mit dieser (diesen) Kante(n)

CLIPPEN VON LINIENSEGMENTEN AN RECHTECKEN

- Cohen-Sutherland-Algorithmus: Bestimme für jeden Eckpunkt (x, y) ein Bitfeld (outcode), das angibt, ob Eckpunkt jenseits des entsprechenden Wertes ist.
- 1. Bit: $y > y_{\max}$,
- 2. Bit: $y < y_{\min}$,
- 3. Bit: $x > x_{\max}$,
- 4. Bit: $x < x_{\min}$

1001	1000	1010
0001	0000	0010
0101	0100	0110

CLIPPEN VON LINIENSEGMENTEN AN RECHTECKEN

- Cohen-Sutherland-Algorithmus:
- outcode (p1) und outcode (p2) seien die Bitfelder der Eckpunkte:

```
if (outcode (p1) == 0000 && outcode (p2) == 0000)
    accept; //p1 und p2 innerhalb
if (outcode (p1) & outcode (p2) != 0000) // bitweises „und“
    reject;
if (outcode (p1) | outcode (p2) != 0000) // bitweises oder
    calculate_intersection (p1, p2, x_min, x_max, y_min,
    y_max);
```

- Schnittpunktberechnung hängt von der Linienrepräsentation ab. Parametrische Darstellung günstig, weil keine Sonderfälle (z. B. vertikale Linien) auftreten.

Parametrische Liniendarstellung:

$$p(t) = (1 - t) p_1 + t p_2$$

Für $t \geq 0$ und $t \leq 1 \rightarrow$ Linie von p_1 zu p_2 .

Wenn es einen Schnittpunkt *sch*n zwischen (p_1, p_2) und einer Rechteckkante (r_1, r_2) gibt, dann gibt es Parameter s und t , mit s in $(0, 1)$ und t in $(0, 1)$ so dass

$$sch = (1 - s) r_1 + s r_2 = p(t).$$

Lösung: Gleichungen für x und y -Komponente der Punkte aufstellen und gleichsetzen (2 Gleichungen; 2 Unbekannte)

CLIPPEN VON LINIENSEGMENTEN AN RECHTECKEN

- **Beispiel:** Schnittpunkt-Berechnung der Linie (x_1, y_1) (x_2, y_2) mit der unteren Rechteck-Kante (x_{\min}, y_{\min}) (x_{\max}, y_{\min})
- Schnittpunkt-Berechnung an horizontalen und vertikalen Kanten vereinfacht sich

$$\text{I } (1-t)x_1 + tx_2 = (1-s)x_{\min} + sx_{\max}$$

$$\text{II } (1-t)y_1 + ty_2 = (1-s)y_{\min} + sy_{\max}$$

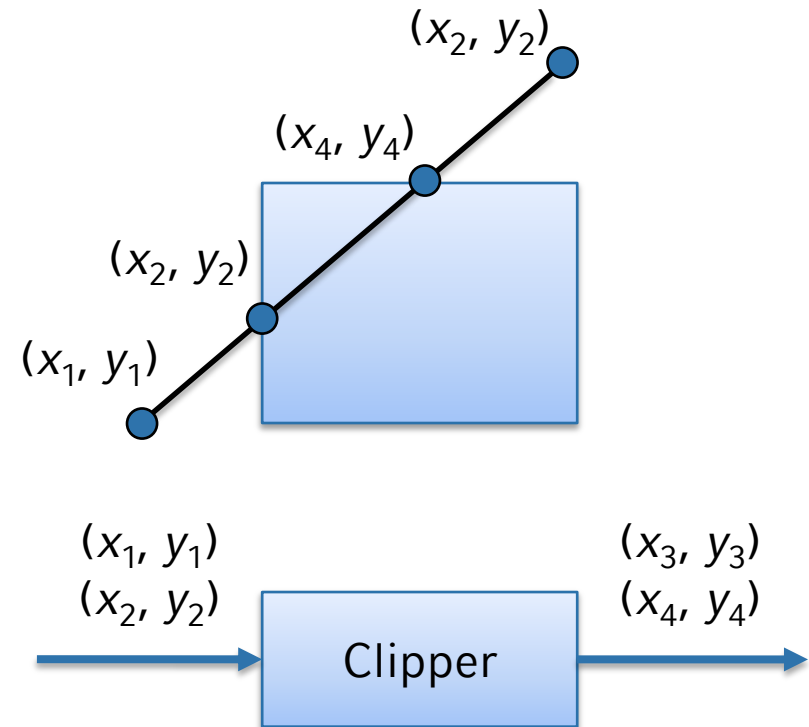
$$(1-t)y_1 + ty_2 = y_{\min}$$

$$t - y_1 + ty_2 = y_{\min} - 1$$

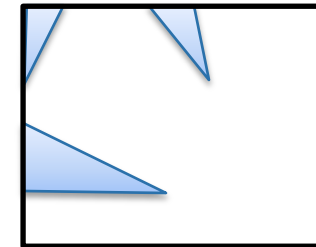
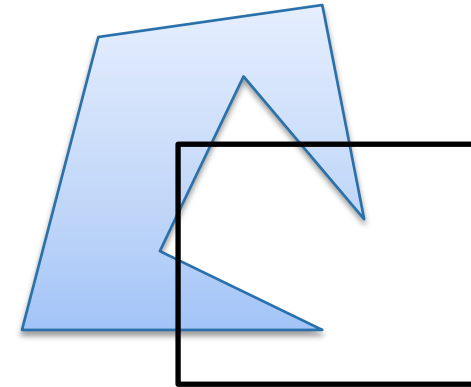
$$t = \frac{y_{\min} - y_1}{y_2 - y_1}$$

CLIPPEN VON LINIENSEGMENTEN AN RECHTECKEN

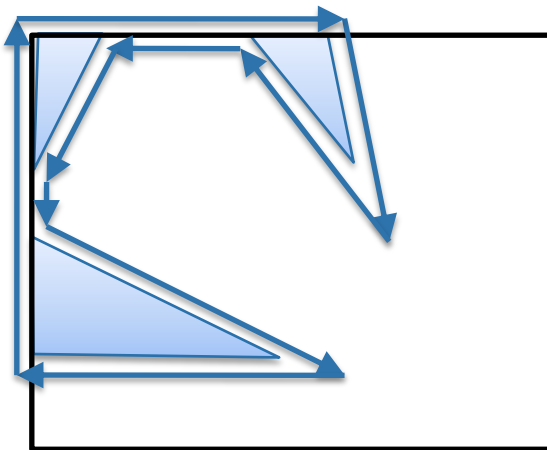
- Clipprozedur für eine Linie (x_1, y_1) (x_2, y_2) an einem Rechteck erzeugt neue Linie (x_3, y_3) (x_4, y_4) , wobei
 - (x_3, y_3) und (x_1, y_1) sowie
 - (x_2, y_2) und (x_4, y_4)gleich sein können



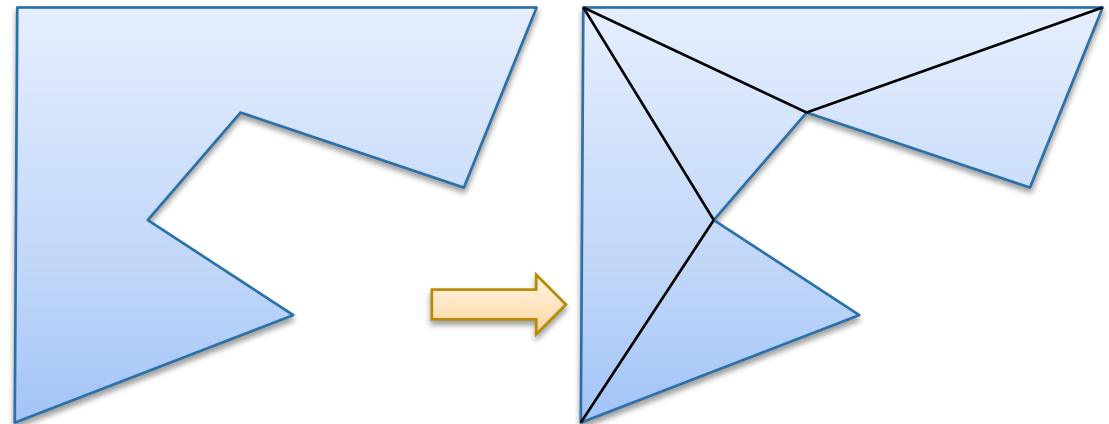
- Grundsätzlich kann das Clippen von Polygonen (p_1, p_2, \dots, p_n) an Rechtecken durch sukzessives Clippen der Linien (p_i, p_{i+1}) durchgeführt werden.
- **Problem:** Konkave Polygone \rightarrow Durch Clippen kann ein konkaves Polygon in mehrere Polygone zerfallen.
- **Lösungsmöglichkeiten:**
 - Unterteilung des Polygons in konvexe Polygone (z. B. Triangulierung) oder
 - Einführen von zusätzlichen Kanten



Clippen von konkaven Polygonen



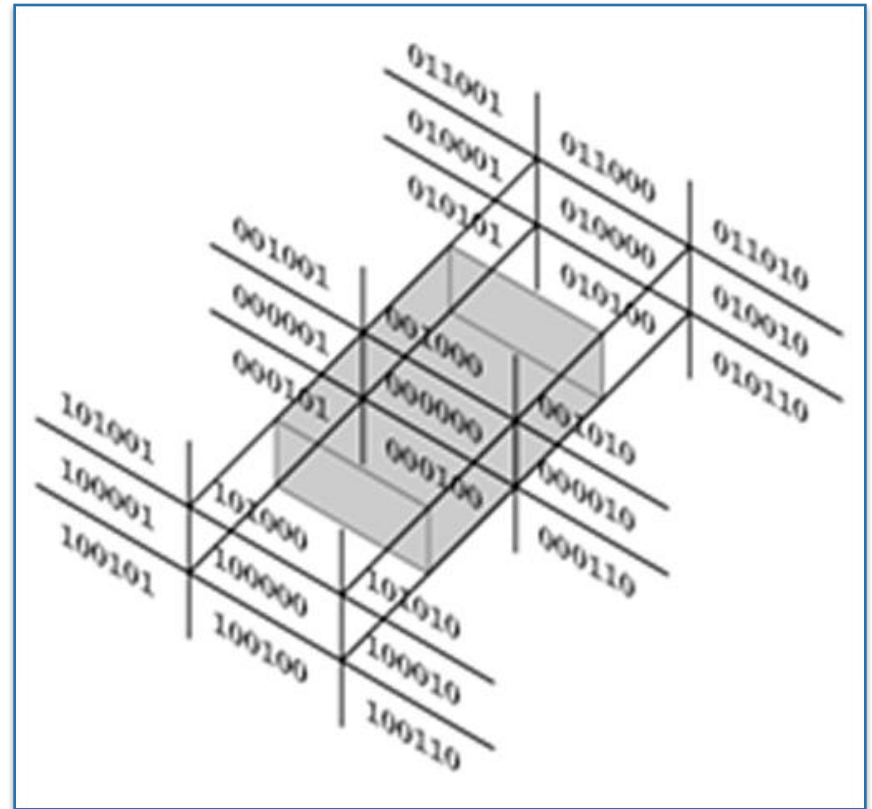
Einfügen von
zusätzlichen Kanten,
um geschlossenes
Polygon zu
repräsentieren



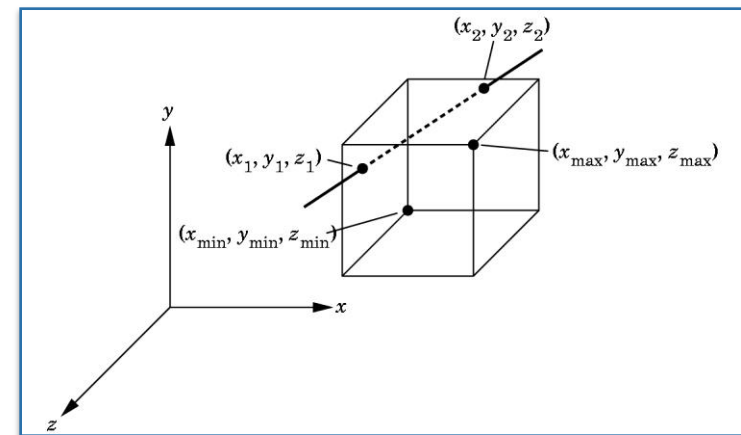
Triangulierung eines konkaven Polygons.
Zusammenhang zwischen Dreiecken und
Polygon muss repräsentiert werden

- Wesentlicher Unterschied zwischen 2D und 3D:
- 2D: Schnittpunktberechnungen zwischen zwei Linien (Clipgeometrie durch Begrenzungslinien charakterisiert)
- 3D: Schnittpunkte liegen i. a. nicht auf den Kanten der Clipgeometrie. Schnittpunktberechnungen zwischen Linien und Flächen.

- Erweiterung des Cohen-Sutherland-Algorithmus durch Ergänzen der Bitfelder pro Eckpunkt (zwei zusätzliche Bits repräsentieren Vergleich mit z_{\min} und z_{\max})



- Für Schnittpunkt-Berechnung in parametrischer Form wird eine 3. Gleichung ergänzt, die sich auf die z-Koordinaten bezieht.



- Clippen von Linien gegen achsenparallele Quader (Sichtbereich bei der Parallelprojektion). Vereinfachung wie im 2D-Fall.
- Clippen von Linien gegen Pyramidenstumpf (perspekt. Projektion): Scherung des Sichtkörpers → achsenparalleler Quader entsteht.
- Bei einer Pipeline-Architektur wird sukzessive gegen die sechs Begrenzungsflächen eines Quaders getestet.

EFFIZIENTES CLIPPEN KOMPLEXER GEOMETRISCHER OBJEKTE

- Schnittpunktberechnungen sind sehr aufwändig für
 - Große Polygone
 - Parametrische Kurven
 - Text
- Intern wird Text häufig durch parametrische Kurven repräsentiert (Skalierbarkeit) und diese werden in Polygone umgewandelt.
- Schnittpunktberechnungen sind sehr effizient für einfache Formen (Kugeln, Quader).
- Effiziente Verfahren nutzen einfache (konvexe) Formen als Hüllkörper und testen, ob Hüllkörper geclippt werden muss.
- Nur wenn Hüllkörper teilweise innerhalb und teilweise außerhalb der Clipgeometrie ist, werden aufwändigere Tests durchgeführt (Raytracing).

- Foley, van Dam, Feiner, Hughes. *Computer Graphics, Principles and Practice*. Zweite Auflage, Addison Wesley. ISBN 0-201-84840-6.
- Bernhard Preim. *Computergraphik 1*. Universität Magdeburg, Vorlesungsskript, Juli 2005.